

徳島大学大学院 学生員 ○後藤喜陸  
徳島大学工学部 正員 藤井清司

玉元がき 欠陥を有する岩質材料への線形破壊力学の適用性について研究を進めているが、今回、欠陥を等面で单一切欠きを有する円板について、混合モード破壊規準を用いたき裂進展解析に加え Griffith の破壊規準を導入することにより切欠き面上からのき裂の発生をとらえることを試みた。また、2つの平行すき切欠きを有する長方形板については、圧縮載荷実験と、円板と同様の手法を用いた解析法で切欠き相互の影響を調べ、そして、分歧き裂問題への解析法の拡張を行った。さらに、応力拡大係数の計算法として和田らによる方法<sup>(2)</sup>の適用性についても検討したので、これらについて報告する。

円板のき裂進展解析 き裂を取扱う場合、破壊力学的手法を用いることの有効性については前回すでに報告されている。しかし、破壊力学的手法では、実験でみられるような切欠き面上からのき裂の発生について取り扱うことができない。そこで、従来の破壊力学的手法に加え Griffith の破壊規準を導入することにより切欠き面上からのき裂の発生をとらえる。ここで、破壊力学的手法における混合モードの破壊規準は次式で表わされる。

$$(K_I + 2\gamma K_{II})^2 + K_{III}^2 = \gamma^2 K^2 \quad (K: k\text{gf/cm}^{3/2}) \quad \cdots(1)$$

そして、Griffith の破壊規準を導入すると次式のようになる。ここで、 $\sigma_c$  は引張強度、 $\alpha$  は軸からのき裂進展角度である。 $D_1 + D_2 > 0$

$$\begin{cases} i) 3D_1 + D_2 \geq 0 \text{ のとき } \sigma_c - \sigma \leq 0 & \alpha = 0 \\ ii) 3D_1 + D_2 < 0 \text{ のとき } \sigma_c - \sigma \leq 0 \quad \sigma_c = -(D_1 - D_2)/2(D_1 + D_2) & \cos 2\alpha = -(D_1 - D_2)/2(D_1 + D_2) \end{cases} \quad \cdots(2)$$

さて、解析法ではあるが、き裂の発生条件として(1)、(2)式の規準を並行して用い、(1)の規準を満足した場合は、従来の破壊力学的手法で取扱い、(2)の規準を満足した場合は、切欠き面上からのき裂を発生させ、一度き裂が発生した後は従来の破壊力学的手法で取扱う。なお、破壊力学的手法の詳細については参考文献<sup>(1)</sup>を参照されたい。次に、解析モデルは、直径 15 cm、板厚 4 cm、切欠き長さ 3 cm の單一切欠きを有する円板で、荷重軸からの切欠きの傾き  $\beta = 60^\circ$  のものを用いる。図 1 は、解析結果と、比較のため実験結果を同時に示しており、実験結果は数回の実験から得られたき裂進展状況を重ね合わせて示したものである。

図 1 から、破壊荷重等実験結果をよくシミュレートしていることがわかり、不安定破壊状況もとらえている。

長方形板のき裂進展実験 近接すき切欠き相互の影響を調べる目的として、2つの平行すき切欠き(長さ 3 cm,  $\beta = 60^\circ$ )を有する縦 26 cm、横 20 cm、板厚 4 cm の長方形板の圧縮載荷実験で切欠き間隔を変化させて、うちの 3 つについて行う。図 2 は、切欠き間隔  $D_v = 4$  cm, 5 cm, 6 cm の場合の実験結果であり、数回の実験から得られたき裂進展状況を重ね合わせて示してある。また、図中の荷重値は、切欠き先端より 3 mm の位置に

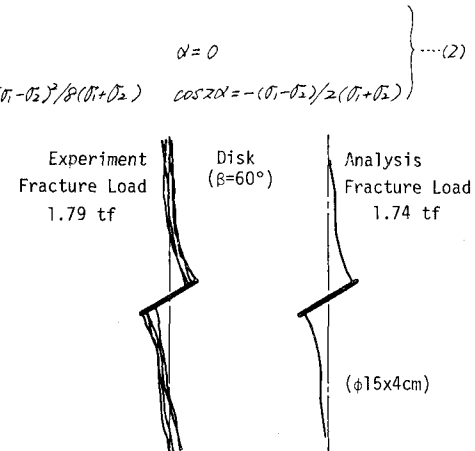


図 1 円板のき裂進展状況

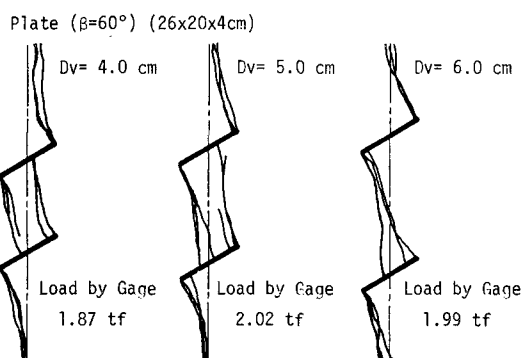


図 2 長方形板の実験によるき裂進展状況

接着してあす接着線ひずみゲージより得られた荷重-ひずみ曲線から求めたゲージ位置を子裂が進展するまでのものである。図2から、切欠き間隔  $D_v$  が 5cm 程度で切欠き相互の影響がよくなるものと思われる。

長方形板の子裂進展解析 円板と同じ解析法を用いて、実験と同形状・同寸法の 2 つの平行直子切欠きを有する長方形板（切欠き間隔  $D_v$  4cm, 5cm, 6cm）について子裂進展解析を行う。図3に解析結果を示し、図中の荷重値は、実験結果と比較するため切欠き先端から 3mm の位置を通過する子裂に対応するものである。図3から、図2と比較するとことにより実験結果の子裂の挙動をよくシミュレートしていることがわかる。切欠き相互の影響範囲についても 5cm 程度と考えられ、実験結果とよく対応している。また、荷重値に関するところ、実験結果から得られる値に非常に近い値を示し、安定破壊を呈するものとされている。また、解析においては、長方形板では切欠き面上から子裂が発生しなかった。しかし、この場合破壊規準を変えて、引張強度を正約 19kN/cm<sup>2</sup> と小さくすると切欠き面上から子裂が発生するこより、図2にみられるよう切欠き面上からの子裂の発生は、引張強度の影響が大きいと考えられる。そして、他の試験体の形状・境界条件の違いにも影響されるものと思われる。

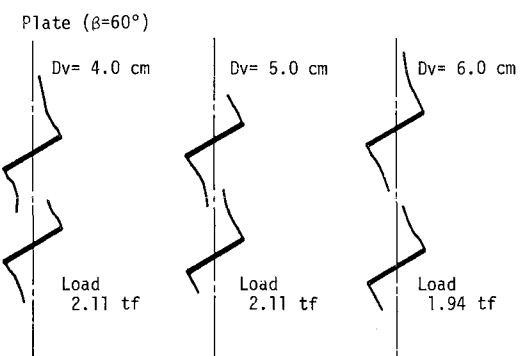


図3 長方形板の解析による子裂進展状況

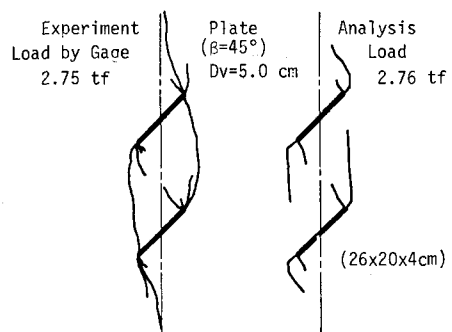


図4 長方形板の子裂進展状況

子裂進展解析法の分歧子裂問題への拡張 一般に切欠き先端から発生・進展する子裂の挙動は分歧・屈折を含む複雑であるため、それらの分歧・屈折子裂の挙動をどうするかこれが問題となる。この問題については、前回の報告で試せられていて、今回も、前回用いた解析法を改良することにより、精度の向上を計る。解析モデルは、前回報告した 2 つの平行直子切欠き（長さ 3cm,  $\beta = 45^\circ$ ）を有する縦 26cm、幅 20cm、板厚 4cm の長方形板で、切欠き間隔  $D_v$  が 4cm, 5cm, 6cm のものを用いる。図4は、解析結果の  $D_v = 5\text{cm}$  の場合を例として示したもので、比較のため実験結果を同時に示してあり、実験結果は数回の実験から得られた子裂進展状況を重ね合わせたものである。図4から、子裂進展経路に關しても、解析結果は実験結果をよくシミュレートしていることがわかる。また、荷重値に關しても、解析値は実験結果とよく一致している。さらに、子裂の成長が荷重増分を伴う安定破壊を示しており、実験時の状況と一致している。

和田らによる応力拡大係数の計算法<sup>(2)</sup> 本研究においては、応力拡大係数の計算法として村上の簡便法を用いているが、この方法は、子裂の分歧・屈折した場合精度が落ちることが前回報告されている。このことから、この欠点に対処するため新しい応力拡大係数の計算法として和田らによる方法の適用性を試みる。この方法を要約すると、子裂先端要素の応力値のみが応力拡大係数に密接に関係するものとして、FEM により得られる応力の要素寸法の領域における合計、厳密解より得られる合計の比を求めた。この時、合計比は K 値の厳密解の求める 2, 3 の問題を解くことにより得られる。そして、FEM により子裂先端の応力を求め、合計比を用いて応力拡大係数を求めるようとするものである。また、この方法についての結果は、当日詳しく報告するこにする。

参考文献 (1)藤井ら；混合モード下の破壊じん性値とかみき裂の解析について、第37回年次学術講演概要集、1982  
(2)和田ら；有限要素法による応力拡大係数の一計算法とその動的問題への応用、機論、47巻417号、1981